



**70064.3—  
2022  
( 16890-3:2016)**

3

**(ISO 16890-3:2016, MOD)**

2022

1 « - -  
» ( « »)  
4

2 061 « -  
»

3 12 2022 . 919-

4 16890-3:2016 « . 3. -  
»

(ISO 16890-3:2016 «Air filters for general ventilation — Part 3: Determination of the gravimetric efficiency and the air flow resistance versus the mass of test dust captured», MOD) -

5

29 2015 . 162- « 26 -  
) « ( » 1 -  
— « ».  
( ) «  
».

(www.rst.gov.ru)

1	.....	1
2	.....	1
3	.....	2
4	.....	4
5	.....	4
6	.....	5
7	.....	5
8	.....	8
9	.....	9
10	.....	11
( )	.....	17
( )	.....	17
	.....	18
	.....	19

( )

( ),

10

50 %.

25

1

[1].

10

( [2]).

10'

25

1

10'

»

70064

70064

( )

10'

25

^

0,3

1

1 —

10	0,3 < < 10
2 5	0,3 < < 2,5
1	0,3 < < 1

70064

70064

( ) .

70064

^ 25 10

0,3 10

70064.2.

70064.4,

70064,

( 1 1 ) .

70064.3.

16890-3:2016

:

29464:2011

14799;

« »

;

15957 « ( )

»,

;

« »

16980-3:2016.



Air filters for general ventilation. Part 3. Determination of the gravimetric efficiency and the air flow resistance versus the mass of test dust captured

— 2023—01—01

1

70064.4. 70064.1, 70064.2

1,5 <sup>3</sup>/ . 610 \* 610 0,25

70064 99 % 10 20 % 70064.

( . 1822-1 — 1822-5).

70064 ( ),

2

70064.1 ( 16890-1:2016), — 1.

( )

70064.2—2022 ( 16890-2:2016), —

2. 70064.4 ( 16890-4:2016), — 4.

1822-1 , ULPA. 1.

1822-2	,	ULPA.	2.
1822-3	,	ULPA.	3.
1822-4	,	ULPA.	4.
1822-5	,	ULPA.	5.

14799

—

—

« -

»,

1

-

«

»

,

( ) .

### 3

#### 3.1

3.1.1 (air flow rate): -

3.1.2 (nominal airflow rate): -

3.1.3 (filter face velocity): -

—

/ .

3.1.4 ( ) (resistance to airflow): -

—

3.1.5 [ ] (recommended final resistance to airflow):

3.1.6 [ ] (final resistance to air flow): -

—

3.1.7 (initial resistance to air flow):

—

3.1.8 (test air): -

#### 3.2

3.2.1 (test device): -

3.2.2 (filter element): -

3.2.3 ( ) (upstream, U/S): -

3.2.4 ( ) (downstream, D/S): -

3.2.5 (coarse filter):  
10 ( <sub>10</sub> ) 50 %.

3.2.6 (fine filter):  
10 ( <sub>10</sub> ) 50 %.

3.2.7 (final filter):

3.2.8 (effective filter media area):

— 2.  
3.2.9 (filter media velocity): -

— /

**3.3**

3.3.1 (arrestance): -

—  
3.3.2 (initial arrestance): -

—  
3.3.3 (average arrestance): -

3.3.4 (test dust capacity):

3.3.5 (loading dust):

3.3.6 (particle size) ( ) -

**3.4**

3.4.1 ; - ( filter):  
13 14.

[ 14799—2013, 3.8.6.3]  
3.4.2 (reference device):

3.4.3 (filter face area): -

— 0,37 ². 0,61 0,61 =



6

L2 ( . /37).

7

7.1

7 70064.2—

2022.

70064.2—2022,

7.2

(2),

4

(7)  
70064.2.

7.3

( . 3 70064.2).

7.4

3 70064.2)

1,7 °C.

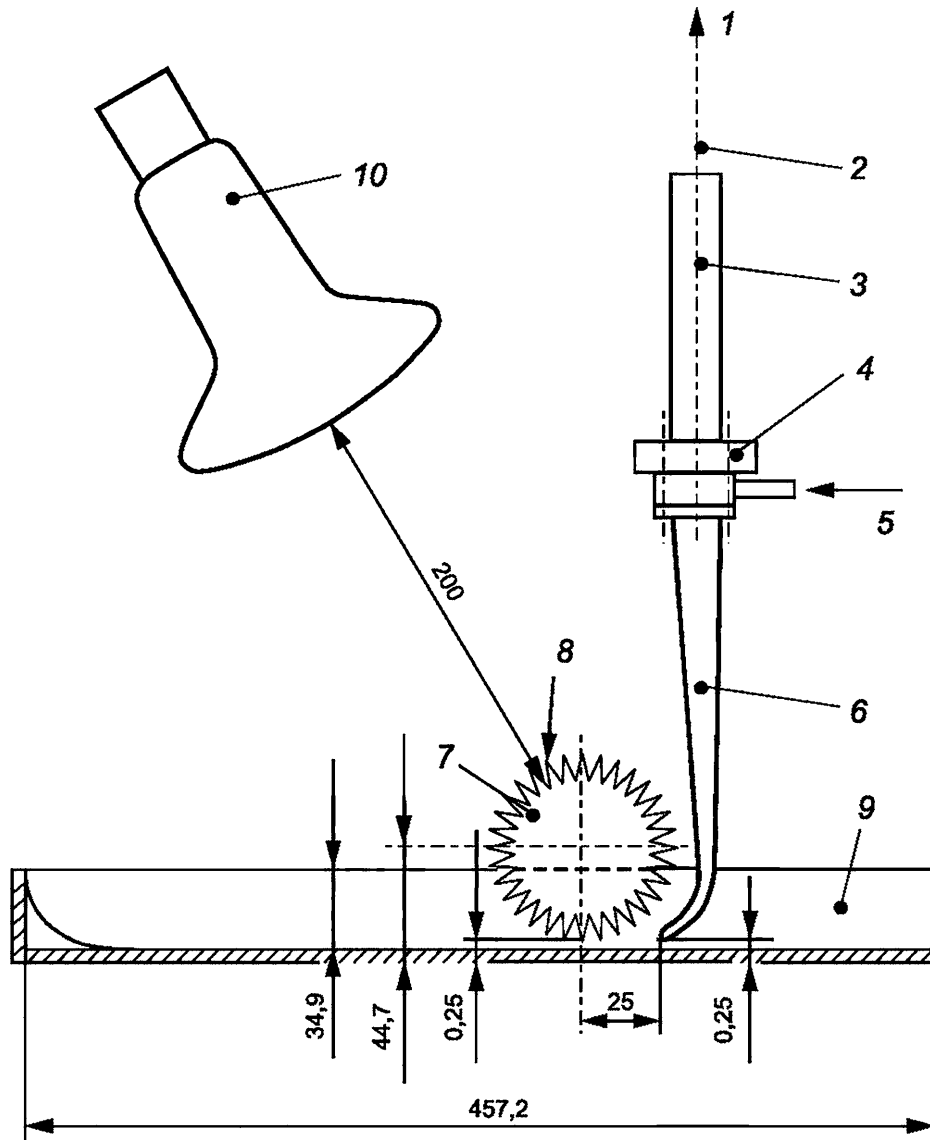
1 2.

1.

90°.

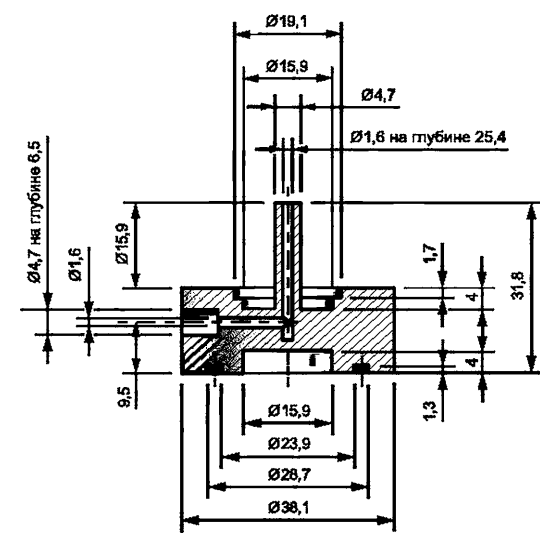
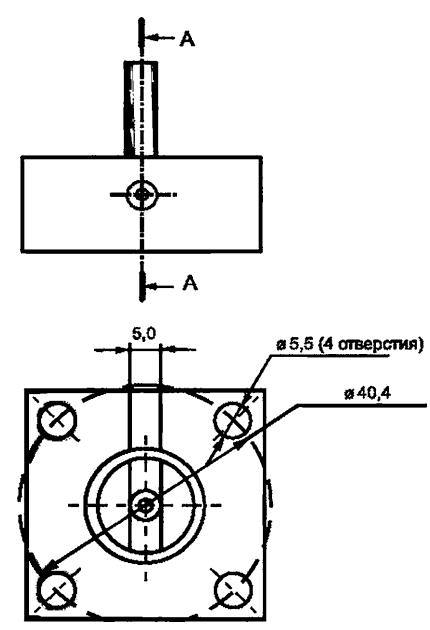
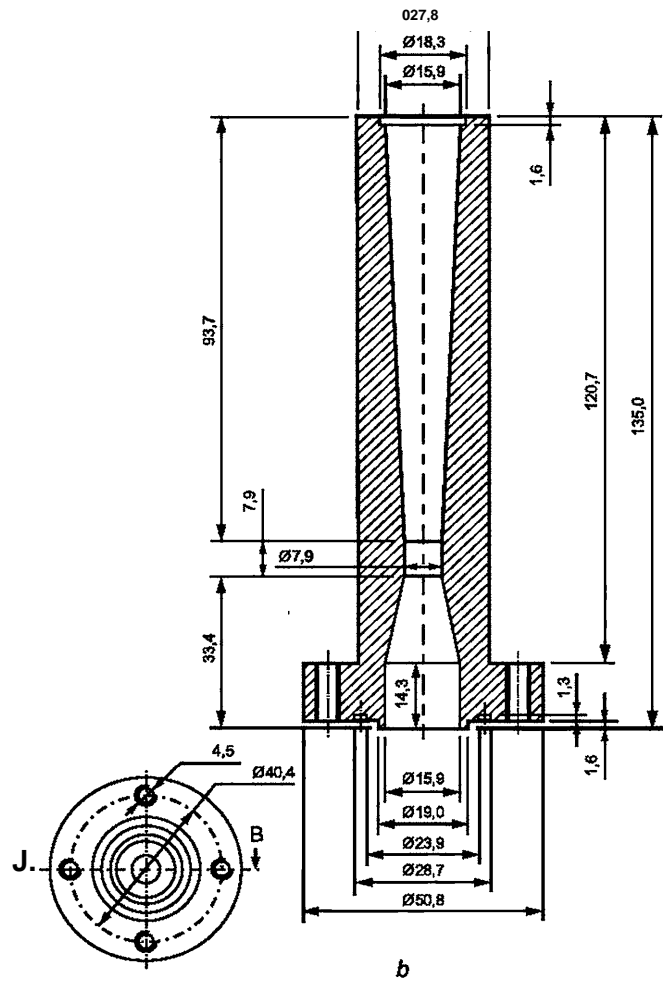
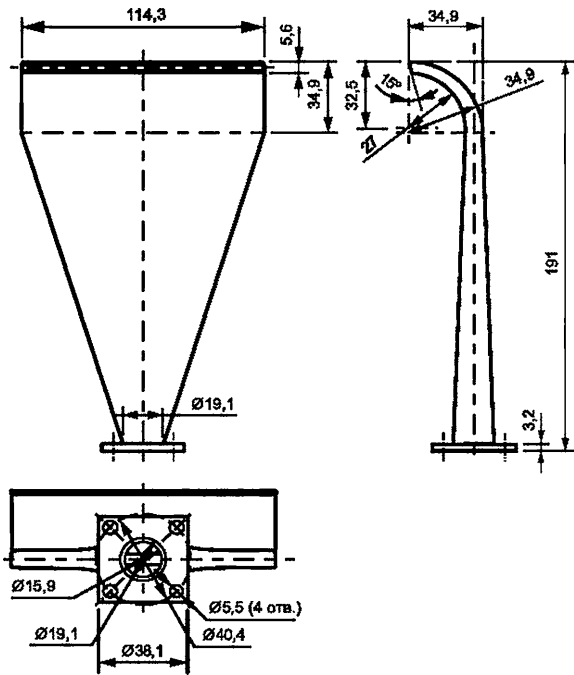
(140 ±14) / 3.

(6,8 ± 0,2) / .



1 — ( ) ; 2 — ;  
 3 — 0,25 ; 4 — ; 5 — ; 6 — ( ) ;  
 60 0,25 5 ) ; 7 — ; 8 — ; 9 — ; 10 — ( 88,9 , 114,3 , 150

1 —



— : 0,8 — ; 0,03 —  
 — ; b — ; —  
 2 —

7.5

98 %  
75 %

1

8

8.1

70064.2—2022,

8

8.

8.2

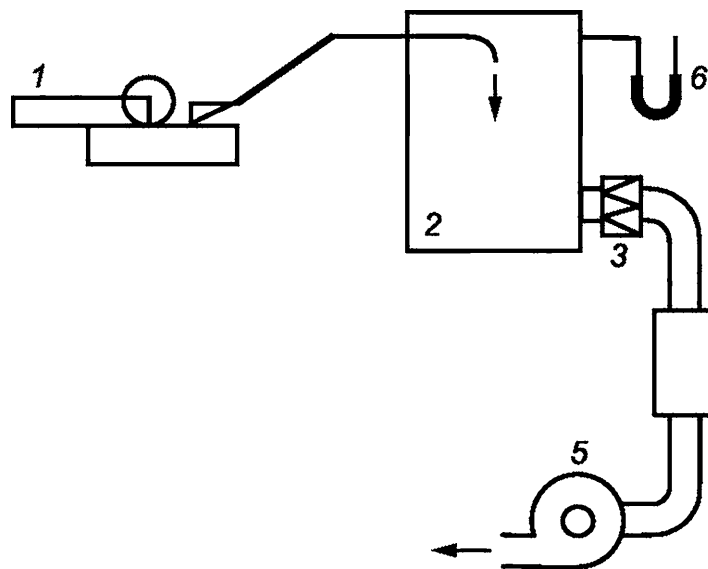
$(6,8 \pm 0,2)$   $^3/$

$(0,0 \pm 0,1)$

7.1.3.

300

3.



1 —  
(

13

; 2 —

1822-1); 4 —

0,25  $^3$ ; 3 —

; 5 —

6 —

3 —

8.3

0,1

100

9.2.1.

2 100 .

9

9.1

9.1.1

(23 ± 5) °C (45 ±10) %

7.1.4.2

70064.2—2022

[ 0,25 <sup>3/</sup> (900 <sup>3/</sup> ) 1,5 <sup>3/</sup> (5400 <sup>3/</sup> ) ]

9.1.2

50 %, 75 %, 100 % 125 %

9.1

70064.2—2022.

( 1,2 / <sup>3</sup> )

7.1.1

70064.2.

9.2

9.2.1

±0,1  
(140 ±14) / <sup>3</sup>

30

( 0,5 )

30

10

10 50%—300 200 10 50% —

( . 2).

2 —

10 30	-		
( )	-		
	(		

9.2.2

—  $A_j$   
 $A_j = (1 - m_j/M_j) \cdot 100\%$ , (1)  
 $m_j$ ;  
 75%  
 85%  
 30  
 10  
 « »

$= (1/ ) [ 1 | + 2 2 + \dots + \dots ]$ , (2)  
 $= M_j + 2 + \dots$   
 $\wedge$  2..... & -

95 %

> 95 %.

9.2.3

)

10

10.1

4 5

10.2.

10.2

10.2.

10.2.1

)

10.2.2

)

- 1)
- 2)
- 3)
- 4)

)

- 1)
- 2)
- 3)
- 4)

)

- 1)
- 2)
- 3)

70064.4,

- 4)
- 5)
- 6)

i)

12,

12 );

- ii)
- iii)
- iv)
- v)

7)

8)

d)

- 1) ; ; ;
- 2) ;
- 3) ;
- 4) ;

)

- 1) ;
- 2) ;
- 3) ;

f)

- 1) ;
- 2) ;
- 3) .

**10.2.3**

)

- 1) ;
- ( . 3) ;
- i) 1,20 / <sup>3</sup>. 1,16 1,24 / <sup>3</sup> .

2)

( , . 4) -

)

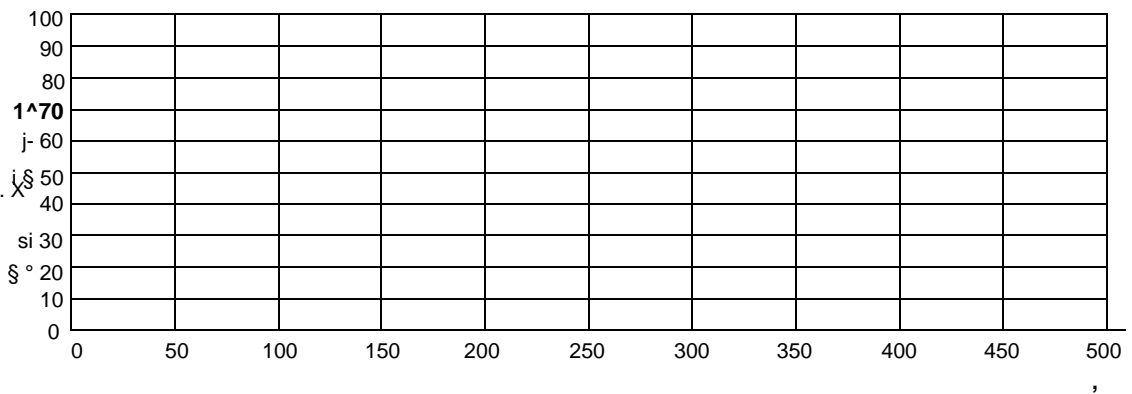
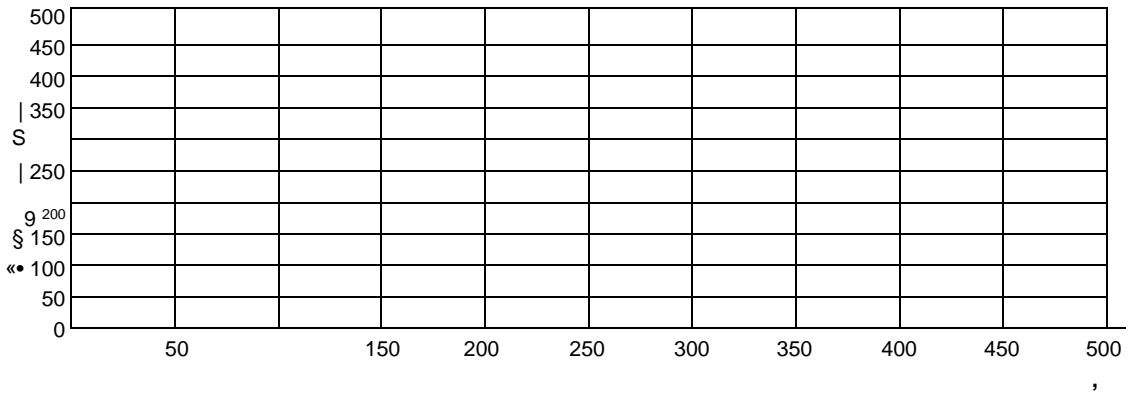
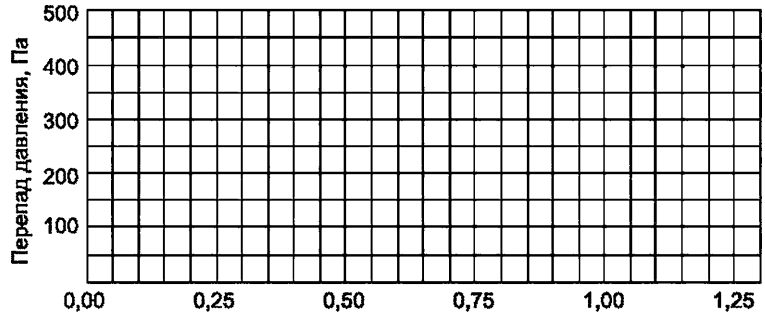
- 1) « -

« » ».

70064.3.					
				-	
				(                    ),	
		, 2			
/					
: (           /           ,           70064.4,           70064.2           . . )					
, 3/	, °C		, %		
,					
		- , %	- , %	- ,	
	-				
:					
»	—	.	-	«	-

70064.3	
: . . .	

%	3/ ,	,
50		
75		
100		
125		





$m_{tot}$	, ;	, °C;	, / <sup>3</sup> ;
;	;	<	, %;
Psf	;	-	;
Pm	, / ;	-	;
Pv	<sup>3</sup> / ;	Ap <sub>f</sub>	-
t	, °C	1,20	1,20 / <sup>3</sup> ,

4 —

<b>70064.3</b>									
, <sup>3</sup> /									
	Pi-	Am,	m <sub>tot</sub> -	2'	^	2'	"	m <sub>d</sub> -	, %
. .									
. .									
. .									
. .									
. .									
,									
,									
, %									
m <sub>d</sub>									
[0]									
1									
2									
Am <sub>ff</sub>									
1									
2									

( )

1,24 / 3  
 101,325 , 1,20 (1,1987) / 3 , 50 % , 20 °C (293 ) , 1,16 / 3 -

$$Ap = c(q_v f, \quad ( .1)$$

$$= \quad \cdot \quad ^{-1}, \quad ( .2)$$

— ;  
 — ;  
 $q_v$  — , 3/ ;  
 — ;  
 — ;  
 — , / 3.

( .1)

« »

$$1.20 = \quad / \quad ^{2-z} \quad ( . )$$

$$, 20 = 1,1987 / 3;$$

$$, 20 = 18,097 \cdot 10^{-6} \cdot .$$

( / 3)  $t$ , °C, -

< , %,

$$\frac{p-0,378_{P_w}}{287,06( / +273,15)'} \quad ( .4)$$

$P_w$  —

$$= \quad ( .5)$$

$P_{ws}$  —

/, °C,

$$P_{ws} = \exp^{59,484085} \quad \cdot \quad ^{-5,02802' \ln(f + 273,15)j} \quad ( .6)$$

, • , /, °C,

$$\frac{1,455 \cdot 10^{-6} ( / + 273,15)^{0,5}}{1 + 110,4 / ( / + 273,15)} \quad ( .7)$$

( )

.1

70064.1—2022 ( 16890-1:2016)	MOD	ISO 16890-1:2016 « 1. ( )»
70064.2—2022 ( 16890-2:2016)	MOD	ISO 16890-2:2016 « 2. »
70064.4—2022 ( 16890-4:2016)	MOD	ISO 16890-4:2016 « 4. »
— : - MOD —		

[1] 12341 .

10 2 5 -

[2] *EU Council Directive 1999/30/* of 22 April 1999

[3] 15957:2015 ( )



14.09.2022. 23.09.2022. 60x84%.  
3,26. - 2,64.

« »

